

# تحلیل سه بعدی نیروهای الکترومکانیکی ترانسفورماتور سه فاز فشار متوسط تحت تأثیر جریان هجومی به روش آنالیز اجزای محدود با ارائه ساختار جدید سیم پیچی

علی اکبر نصیری، علی محمد رنجبر، فرامرز فقیهی و سودابه سلیمانی

حالت گذرا، بیشترین نیرو را در سیم پیچی های ترانسفورماتور ایجاد می کند. از طرفی با توجه به این که تعداد دفعات و قوع این جریان و مدت زمان عبور آن نسبت به جریان اتصال کوتاه بسیار بیشتر است، جریان هجومی، اثرات تخریبی بیشتری را به دنبال خواهد داشت. نتایج مطالعات در [۳] تا [۵] نشان می دهد که نیروهای الکترومغناطیسی وارد بر روی سیم پیچی ترانسفورماتور ناشی از جریان هجومی در بسیاری نقاط بیشتر از نیروهای الکترومکانیکی ناشی از جریان اتصال کوتاه با دامنه یکسان است. با توجه به محدودیت هایی که در تأمین تجهیزات آزمایشگاه های فشار قوی برای آزمون جریان های اتصال کوتاه و هجومی بر روی ترانسفورماتور های قدرت با ظرفیت بالا وجود دارد، معمولاً از مدل های عددی برای محاسبه نیروهای الکترومکانیکی گذرا در لحظه و قوع خطا استفاده می شود [۶]. لذا در این مقاله به منظور تحلیل یک مدل در دسترس برای اندازه گیری داده های واقعی مورد نیاز، از یک ترانسفورماتور سه فاز فشار متوسط ۳۰۰ کیلوولت آمپر جهت تحلیل مؤلفه های افقی و عمودی نیروی الکترومکانیکی با استفاده از روش آنالیز اجزای محدود سه بعدی استفاده می شود. همچنین قبل از انجام شبیه سازی ها، روابط تحلیلی میدان، نیرو و جریان در ترانسفورماتور بیان شده و پس از تحلیل آنها معادلات اساسی برای استفاده در مدل سازی استخراج می شوند [۷] و [۸].

با توجه به بررسی های صورت گرفته در مراجع متعدد، مدل سازی اجزای محدود سه بعدی ترانسفورماتور سه فاز ضمن پیاده سازی ساختار های جدید سیم پیچی، کمتر دیده شد [۱] تا [۸]. لذا این مقاله با ارائه ای از این مطالعات اساسی برای استفاده در مدل سازی استخراج می شوند [۷] و [۸].

با توجه به بررسی های صورت گرفته در مراجع متعدد، مدل سازی اجزای محدود سه بعدی ترانسفورماتور سه فاز ضمن پیاده سازی ساختار های جدید برای سیم پیچی یک ترانسفورماتور ۳۰۰ کیلوولت آمپر با نسبت تبدیل ۳۸۰ ولت / ۲۰ کیلو ولت تحت عنوان ساختار ثانویه - اولیه - ثانویه (SPS)، به مقایسه نتایج حاصل از شبیه سازی ۳D-FEM (SPS) با ساختار متدائل سیم پیچی ترانسفورماتور پرداخته است.

## ۲- تحلیل میدان الکترومکانیکی

### ۱-۲ معادله اساسی الکترومغناطیسی

نیروهای الکترومغناطیسی با استفاده از چگالی شار مغناطیسی ترانسفورماتور قدرت محاسبه می شوند. بر همین اساس، هنگامی که جریان در سیم پیچی های ترانسفورماتور عبور می کند، معادله اساسی میدان مغناطیسی را می توان به صورت زیر نوشت

$$\nabla \times \frac{1}{\mu} (\nabla \times \vec{A}) = \vec{J}_s - \delta \frac{\partial \vec{A}}{\partial t} \quad (1)$$

در این رابطه  $\mu$  ضریب نفوذ پذیری مغناطیسی (هانری بر متر)،  $\vec{A}$  بردار پتانسیل،  $\vec{J}_s$  چگالی جریان (آمپر بر مجذور متر) و  $\delta$  ضریب هدایت یا

چکیده: نیروهای الکترومکانیکی گذرا، تنش های مکانیکی شدیدی بر روی سیم پیچی ها و عایق های ترانسفورماتور در دو جهت شعاعی و محوری القا می کنند. در این مقاله، تأثیر این نیروها در لحظه جریان هجومی بر روی یک ترانسفورماتور سه فاز فشار متوسط ضمن پیاده سازی ساختار جدیدی از سیم پیچی به روش ثانویه - اولیه - ثانویه (SPS) بررسی می شود. به منظور تحلیل نیروهای الکترومکانیکی، مدل سه بعدی ترانسفورماتور سه فاز توسط نرم افزار Ansoft Maxwell ۱۵.۰ شبیه سازی و مورد مطالعه قرار می گیرد. پتانسیل برداری مغناطیسی، چگالی شار مغناطیسی و نیروهای الکترومکانیکی، توسط یک روش آنالیز اجزای محدود الکترومکانیکی سه بعدی برای حالت های مختلف سیم پیچی متدائل و SPS به دست می آید. از مقایسه و تحلیل نتایج، یک ساختار بهینه برای سیم پیچی ترانسفورماتور سه فاز در راستای کمینه سازی نیروهای الکترومکانیکی در لحظه جریان هجومی پیشنهاد شده است.

**کلید واژه:** ترانسفورماتور سه فاز فشار متوسط، ساختار سیم پیچی SPS، جریان هجومی، روش اجزای محدود سه بعدی، نیروی الکترومکانیکی.

### ۱- مقدمه

هنگامی که یک ترانسفورماتور در وضعیت اتصال کوتاه یا شرایط جریان هجومی قرار می گیرد، نیروهای الکترومغناطیسی شدیدی بر روی سیم پیچی های ترانسفورماتور اعمال می گردند. این نیروهای گذرا باعث بروز آسیب مکانیکی جدی مانند از بین رفتان عایق سیم پیچی ها و حتی آتش گرفتن روغن ترانسفورماتور (به علت ایجاد قوس ناشی از اتصال کوتاه که دمای زیاد قوس ترکیب هیدروکربنی و مشتقات نفی روغن را تجزیه می کند) می گردد. بنابراین توانایی استقامت در مقابل این نیروهای گذرا یکی از مشخصات اساسی و ضروری در یک ترانسفورماتور محاسبه می شود که قبیل از نصب در سایت و به منظور دستیابی به عملکرد این آن، محاسبه این نیروها به تفکیک مؤلفه های افقی و عمودی را اجتناب ناپذیر می کند [۱] و [۲]. در این بین، جریان هجومی از اهمیت بالاتری برخوردار است چون این جریان به خاطر داشتن دامنه بزرگ در

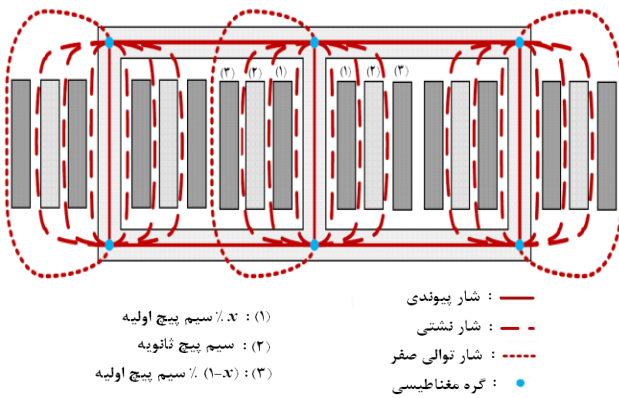
این مقاله در تاریخ ۲۹ آذر ماه ۱۳۹۲ دریافت و در تاریخ ۱۹ تیر ماه ۱۳۹۴ بازنگری شد.

علی اکبر نصیری، گروه مهندسی برق، واحد علوم و تحقیقات، دانشگاه آزاد اسلامی، تهران، (email: nasiri.83@gmail.com).

علی محمد رنجبر، گروه مهندسی برق، دانشگاه صنعتی شریف، تهران، (email: amranjbar@sharif.edu).

فرامرز فقیهی، گروه مهندسی برق، واحد علوم و تحقیقات، دانشگاه آزاد اسلامی، تهران، (email: faramarz\_faghhihi@hotmail.com).

سودابه سلیمانی، گروه مهندسی برق، واحد علوم و تحقیقات، دانشگاه آزاد اسلامی، تهران، (email: soodabeh\_soleymani@yahoo.com).



شکل ۲: نمایش مسیرهای عبور شار مغناطیسی در ترانسفورماتور سهفاز با ساختار SPS.

دقیق جریان هجومی، تأثیر این جریان در ایجاد نیروهای الکترومغناطیسی در ترانسفورماتور مورد مطالعه قرار گرفته است.

لازم به ذکر است در این مقاله منحنی مشخصه مغناطیسی در ربع اول در نظر گرفته شده و نقاط مربوط به بزرگترین منحنی B-H ممکن برای ماده مغناطیسی ( $B_{\max}$  و  $H_{\max}$ ) جهت مطالعه رفتار مغناطیسی توسط نرم افزار ماکسول لحاظ گردیده است. البته استفاده از مدل های نظیر مدل پریساج (که دارای دقت بسیار بالا ولی پیچیدگی های زیادی در شبیه سازی کامپیوتراست) و مدل هدگدون (که دارای دقت قابل قبولی و شبیه سازی نه چندان پیچیده است) نیز به عنوان دو مدل معتبر و کارآمد جهت مدل سازی رفتار مغناطیسی مطرح بود و با توجه به این که این مطالعه اختصاص به ترانسفورماتور (ماشین الکتریکی است) داشت و شبیه سازی ها اجزای محدود (FEA) ترانسفورماتور نیز در حالت انجام گرفته است، لذا در این مقاله به این حوزه ورود نشده است.

### ۳-۲ جریان اتصال کوتاه

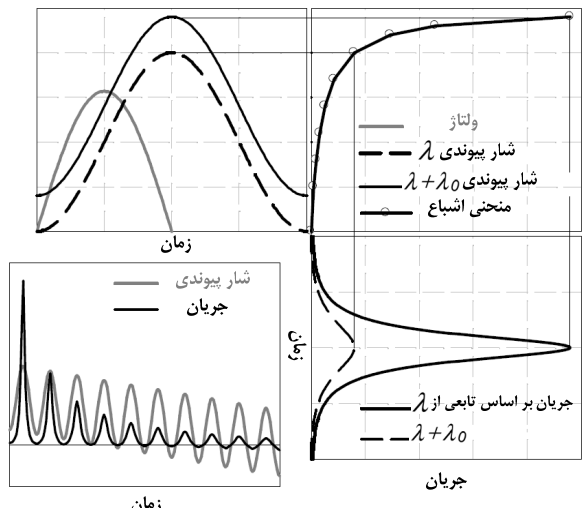
جریان گذراشی ناشی از اتصال کوتاه در سیم پیچی های ترانسفورماتور یکی از پارامترهای مهم و اساسی در محاسبات مربوط به نیروی الکترومغناطیسی می باشد. عموماً در شرایط اتصال کوتاه سیستم، جریان های با دامنه بالا تولید می شوند. در شرایط خاص جریان اتصال کوتاه نیز می تواند تا ده برابر جریان نامی افزایش داشته باشد. این جریان های گذار را می توان با رابطه زیر تقریب زد [۱۱]

$$I_{sc}(t) = I_s e^{\frac{R}{L}t} + \frac{\sqrt{2}U}{\sqrt{R^2 + X^2}} \sin(\omega t - \varphi) \quad (6)$$

در این رابطه،  $I_s$  جریان اولیه (آمپر)،  $R$  و  $X$  به ترتیب مقاومت (هم)، اندوکتانس (هانری) و راکتانس (هم) و  $U$  ولتاژ مؤثر می باشد که در مقاله حاضر این بحث مورد بررسی قرار نمی گیرد.

### ۴-۲ چگالی شار نشتی

مسیرهای عبور شار مغناطیسی در هسته یک ترانسفورماتور سهفاز با ساختار سیم پیچی SPS و میدان های حاصل از شار نشتی آن به ترتیب در شکل های ۲ و ۳ نشان داده شده اند. در این روش جدید سیم پیچی هر چه قدر سیم پیچ اولیه از هسته دورتر باشد، شار پراکندگی و در نتیجه جریان هجومی کاهش می یابد. لذا ما علاقمندیم به جهت کاهش جریان هجومی و در نتیجه نیروهای الکترومغناطیسی بر روی سیم پیچی ترانسفورماتور، پارامتر  $x$  مقداری بزرگ اختیار نماید. به عبارت دیگر، درصدی از  $P$



شکل ۱: رابطه بین جریان هجومی، ولتاژ و شار پیوندی (شار دور) [۱۰].

رسانایی (زیمنس بر متر) می باشد. از مدل اجزای محدود سه بعدی برای محاسبه شار نشتی در نواحی مختلف سیم پیچ استفاده می شود [۹].

## ۲-۲ جریان هجومی

پس از کلیدزنی ترانسفورماتور و عبور جریان از آن، در ابتدا یک حالت گذرا در ترانسفورماتور ایجاد شده که پس از این حالت ترانسفورماتور به حالت ماندگار می رسد. شکل موج ولتاژ به محض بسته شدن کلید، دامنه و جهت پسماند مغناطیسی از جمله عواملی هستند که منجر به طولانی شدن حالت گذرا ترانسفورماتور می شوند. شکل ۱ بیان کیفی پدیده جریان هجومی ترانسفورماتور و تأثیر آن را بر روی شار مغناطیسی نشان می دهد [۱۰].

با توجه به مدل بی باری ترانسفورماتور و صرف نظر نمودن از مقاومت سیم پیچی ها، رابطه بین ولتاژ و شار را می توان با (۲) بیان نمود

$$E_m \sin \omega t = N \cdot \frac{d\varphi(t)}{dt} \quad (2)$$

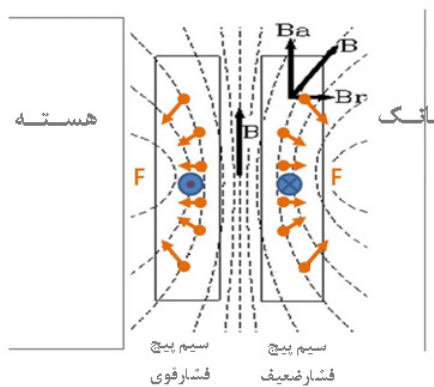
$$\varphi(t) = \frac{E_m}{N} \int \sin \omega dt = \frac{-E_m}{\omega N} \cos \omega t + c \quad (3)$$

$$\varphi(t) = -\varphi_p \cos \omega t + \varphi_p + \varphi_{res} \quad (4)$$

در این رابطه  $N$  تعداد دور سیم پیچی اولیه،  $\varphi_{res} = \varphi(0)$  شار باقیمانده در هسته آهن ترانسفورماتور و  $\varphi_p = E_m / \omega N$  است. با توجه به (۴) در لحظه ای که ولتاژ در پیک منفی خود می باشد،  $\varphi_p + \varphi_{res} \gg \varphi_p$  می باشد که ولتاژ در هسته افزایش یافته و در نهایت ترانسفورماتور به اشباع گردیده و شار در هسته افزایش یافته و در نهایت ترانسفورماتور به اشباع (L<sub>in</sub>) می رود. در این صورت شب منحنی B-H که معرف اندوکتانس (L<sub>in</sub>) می باشد کاهش یافته و در نتیجه جریان که توسط (۵) به دست می آید، با سرعت و شدت زیادی افزایش می یابد. این جریان همان جریان هجومی ترانسفورماتور است که ممکن است تا ده برابر جریان نامی ترانس نیز بالا رود [۵]

$$i_{in} = \frac{1}{L_{in}} \int E_m \sin \omega dt \quad (5)$$

این پدیده می تواند اثرات خطرناکی برای ترانسفورماتور داشته باشد. لازم به ذکر است در این مقاله صحت نتایج مربوط به شبیه سازی جریان هجومی ترانسفورماتور مورد مطالعه با نتایج واقعی حاصل از آزمایش این ترانسفورماتور در [۷] تطبیق داده شده و پس از اعتبارسنجی شکل موج



شکل ۵: پتانسیل بردار مغناطیسی و چگالی توزیع شار نشتی در سیم پیچ های هم مرکز ترانسفورماتور نمونه.

سیم پیچی ایجاد می شوند. بنابراین با استفاده از قانون نیروی لورنتس می توان نیرو را به صورت  $\bar{F} = I \cdot d\bar{l} \times \bar{B}$  بیان نمود. دامنه این نیرو  $B$  برابر  $dF = B \cdot I \cdot dl \cdot \sin \alpha$  می باشد. در اینجا  $I$  شدت جریان  $[A]$ ،  $dl$  طول هادی حامل جریان چگالی شار  $[T]$ ،  $\alpha$  زاویه بین بردار چگالی شار و بردار هادی حامل الکتریکی  $[m]$  و  $\alpha$  زاویه بین نیروی الکترومغناطیسی نیز نامیده جریان می باشد. راستای این نیرو که نیروی الکترومغناطیسی نیز نامیده می شود، عمود بر صفحه حاصل از دو بردار  $\bar{B}$  و  $\bar{dl}$  بوده و جهت آن نیز می شود، عمد بر صفحه حاصل از دو بردار  $\bar{B}$  و  $\bar{dl}$  بوده و جهت آن نیز می شود.

توسط قانون دست راست مانند شکل ۴ به دست می آید.  
از طرفی می دانیم پتانسیل بردار مغناطیسی که بر اساس تحلیل میدان مغناطیسی محاسبه می شود، پارامتر اصلی در محاسبه نیروهای مغناطیسی محسوب می شود. لذا چگالی شار مغناطیسی و نیروهای الکترومغناطیسی در مختصات استوانه ای را بر اساس مؤلفه های شعاعی و محوری می توان به ترتیب توسط (۷) و (۸) نوشت [۱۴]

$$B_r = -\frac{\partial A_\phi}{\partial z} \quad (7)$$

$$B_\phi = 0 \quad (7)$$

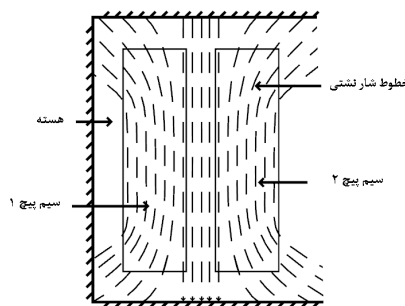
$$B_z = \frac{1}{r} \frac{\partial A_\phi}{\partial r} \quad (7)$$

$$F = \int_v J_\phi \hat{\phi} (B_r \hat{r} + B_z \hat{z}) dv = F_r \hat{r} + F_z \hat{z} \quad (8)$$

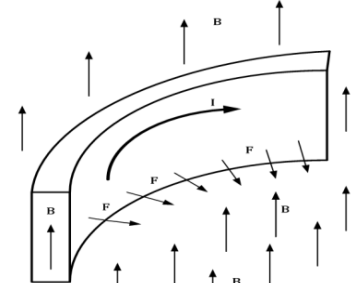
در این روابط  $B_r$ ،  $B_\phi$  و  $B_z$  مؤلفه های جهتی چگالی شار چگالی جریان اتصال کوتاه در جهت  $\phi$  و  $\hat{r}$  و نهایتاً  $\hat{\phi}$  و  $\hat{z}$  بردارهای یکه در مختصات استوانه ای می باشند.

همان طور که در (۸) نشان داده شده است در جایی که نیروی محوری وابسته به مؤلفه شعاعی چگالی شار مغناطیسی است، نیروی شعاعی نیز وابسته به مؤلفه محوری چگالی شار مغناطیسی می باشد. برای تحلیل (۷) و (۸)، آرایش سیم پیچ های یک ترانسفورماتور نمونه مانند شکل ۵ را در نظر بگیرید. در این آرایش، نیروهای شعاعی به سیم پیچ داخلی ضربه وارد نموده که این نیروی متراکم به سمت داخل هسته اعمال می گردد. نیروهای شعاعی سیم پیچی خارجی نیز به صورت نیروی کششی و به طرف تانک ترانسفورماتور و در جهت بیرون عمل می نماید. مؤلفه شعاعی این نیروها باعث خرابی عایق بین هسته و سیم پیچ یا عایق بین لایه های سیم پیچی گردیده و باعث افزایش دما در ترانسفورماتور نیز می گردد.

لازم به ذکر است در این آرایش، نیروهای محوری بر روی هر دو سیم پیچی داخلی و خارجی (مانند یک نیروی فشرده کننده در جهت محور و به طرف مرکز سیم پیچ ها) اعمال می شود که نمایش کلی این نیروها در شکل ۶ آمده است [۶].



شکل ۳: میدان های شار نشتی.



شکل ۴: جهت نیروهای الکترومغناطیسی.

(سیم پیچی ثانویه) چنان انتخاب شود که در عین خنثی سازی کامل به نقطه کار بهینه نیز دست یابیم. لذا در این مقاله، نتایج شبیه سازی برای  $\lambda$  های مختلف  $۰/۰$ ،  $۰/۵$  و  $۰/۶$  انجام شده است. در ساختار سیم پیچی ارائه شده، شارهای مغناطیسی پیوندی، نشتی و توالی صفر در ترانسفورماتور به صورت زیر معرفی می شوند:

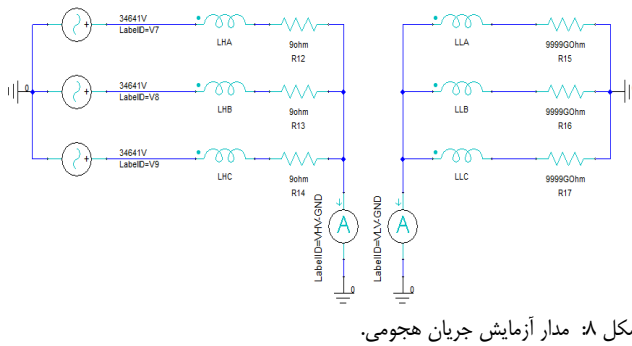
- شارهای پیوندی: شارهای پیوندی، مسیرهای مغناطیسی در هسته آهن می باشند. بدین صورت پیوند بین مسیرهای مختلف در بین ماده فرومغناطیسی ایجاد می شود. مسیرهای شار پیوندی در شرایط عادی با یک رابطه غیر خطی و با ضربی نفوذپذیری بالا بیان می شوند. در زمان اشباع هسته، ضربی نفوذپذیری کاهش یافته و تقریباً به مقدار  $10^{-6}$  می رسد. از طرفی این شارها رفتار مدار باز ترانسفورماتور و اتصال بین فازها را نشان می دهد.

- شارهای نشتی: شارهای نشتی، شارهای مغناطیسی هستند که مسیر خود را از هوا و ماده مغناطیسی می بندند. فضای بین دو سیم پیچ به دلیل داشتن چگالی ابریزی بالا از اهمیت ویژه ای برخوردار است. این مسیرها خطی بوده و دارای ضربی نفوذپذیری  $10^{-6}$  می باشد. شارهای نشتی، رفتار اتصال کوتاه ترانسفورماتور را نیز نشان می دهند. این مسیرها در شرایط اشباع هسته بسیار مهم هستند. معمولاً از اتصال بین فازهای مختلف در اثر شارهای نشتی نیز صرف نظر می شود.

- شارهای توالی صفر: مسیرهای شار همقطبی هستند که در تانک ترانسفورماتور و روغن جاری می شوند. این شارها رفتار هوا بیان می کنند. به علت فاصله هوا بیان نسبتاً زیاد پرشده توسط روغن بین هسته و تانک ترانسفورماتور، این شارها را می توان خطی و با ضربی نفوذپذیری  $10^{-6}$  فرض نمود.

## ۵-۲ نیروی الکترومغناطیسی

نیروی الکترومغناطیسی گذرا در سیم پیچی های ترانسفورماتور سه فاز با پارامتر جریان های گذرا و چگالی شار مغناطیسی تخمین زده می شود. این نیروها در نتیجه ترکیب جریان های گذرا و شار نشتی در نواحی مختلف



جدول ۱: پارامترهای طراحی شده برای ترانسفورماتور سه‌فاز مورد مطالعه.

۳۰۰ KVA	توان نامی	
۲۰ KV/۰.۳۸ KV	ولتاژ	
۵۰ Hz	فرکانس	مقدار پایه
Y/Y	اتصال فازها	
۳	تعداد فازها	
M43-۲۹G	جنس هسته	مشخصات
۱.۶ T	بیشینه چگالی شار مغناطیسی	هسته
۲۵۰/۵ mm <sup>۲</sup>	سطح مقطع	
۷۴۱/۴۷ cm <sup>۲</sup>	سطح پنجره ترانسفورماتور	
۰/۲۵	ضریب پرشدگی پنجره	
۸/۴۶	ولت بر دور	
۸/۶۶ A	جریان نامی سیم‌پیچی اولیه	سیم‌پیچهای شعاعی
۴۵۴/۵۴ A	جریان نامی سیم‌پیچی ثانویه	
۲/۵ A/mm <sup>۲</sup>	چگالی جریان	اصلی
۱۳۶۸	تعداد دور سیم‌پیچی اولیه	
۲۶	تعداد دور سیم‌پیچی ثانویه	

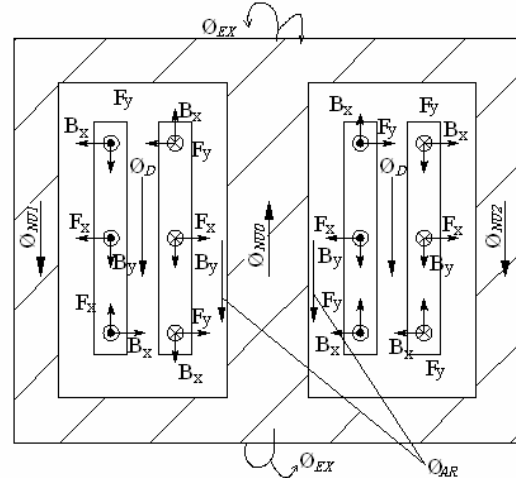
#### ۴- پیاده‌سازی شرایط جریان هجومی

تا کنون مدل‌های مختلفی برای نمایش و بررسی جریان هجومی برای ترانسفورماتورهای قدرت پیشنهاد گردیده است [۱۵] و [۱۶] اما مشکل عمده‌ای که در مدل‌سازی جریان هجومی به خصوص در حالت‌های گذار وجود دارد، عدم ارائه مدل مناسب نیست بلکه کمبود اطلاعات لازم جهت پیداکردن پارامترهای مورد نیاز برای ساختن این مدل‌هاست. لذا در این مقاله به منظور مطالعه رفتار الکترومکانیکی ترانسفورماتور در صورت وقوع جریان هجومی یک مدار آزمایش پیشنهاد شده است که تقریباً جریان هجومی را برای اعمال به مدل اجزای محدود ترانسفورماتور مورد مطالعه شبیه‌سازی می‌نماید. همان‌گونه که در شکل ۸ ملاحظه می‌شود ترمinal‌های فشارقوی ترانسفورماتور مورد مطالعه ۲۵ ms از شروع آزمایش به شبکه بین‌نهایت متصل گردیده است و این اتصال در شرایط صورت گرفته که در مدار آزمایش طرف فشار ضعیف ترانسفورماتور مدار باز است.

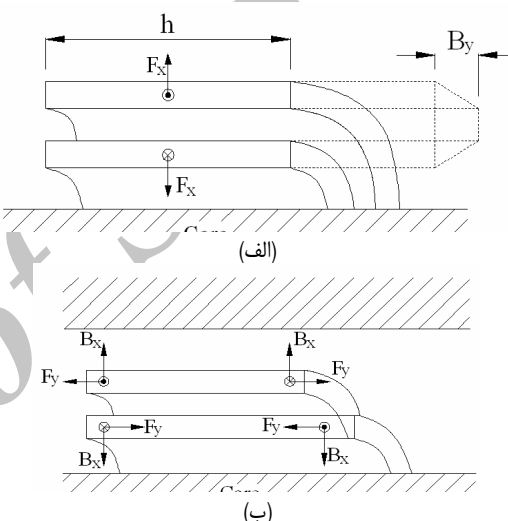
#### ۵- نتایج شبیه‌سازی

##### ۱-۵ ترانسفورماتور با ساختار سیم‌پیچی متداول (SP)

در ابتدا به منظور مطالعه رفتار الکترومکانیکی ترانسفورماتور مورد مطالعه در شرایط جریان هجومی، مدل ترانسفورماتور را با ساختار ساده برای سیم‌پیچی‌های ترانسفورماتور (سیم‌پیچی اولیه/ثانویه یا اصطلاحاً



شکل ۷: نمایش نیروهای الکترومغناطیسی و مؤلفه‌های میدان مرتبه.



شکل ۸: نمایش مؤلفه‌های مرتبه نیروها در برش عرضی ترانسفورماتور، (الف) نیروهای شعاعی و (ب) نیروهای محوری.

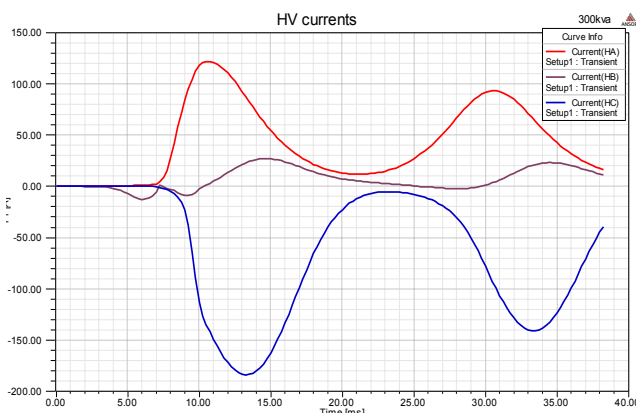
در این حالت، نیروهای الکترومغناطیسی در سیم‌پیچ‌های ترانسفورماتور به دو گروه تقسیم می‌شوند. گروه اول نیروی شعاعی است که از تقابل میان جریان‌های عبوری از سیم‌پیچی و مؤلفه محوری شار پراکنده‌ی به وجود می‌آید (شکل ۷-الف)، که این نیرو باعث از هم پاشیدگی سیم‌پیچی خارجی و فشردگی سیم‌پیچی داخلی به سوی هسته می‌گردد. گروه دوم، نیروی محوری است که از تقابل جریان سیم‌پیچی با مؤلفه شعاعی شار پراکنده‌ی به وجود آمده و باعث به هم فشرده شدن سیم‌پیچی‌ها در وسط می‌شود (شکل ۷-ب) [۱۲] و [۱۳].

#### ۳- مدل‌سازی ترانسفورماتور

در این مقاله یک ترانسفورماتور سه‌بعدی نوع هسته‌ای با مشخصات جدول ۱ به صورت سه‌بعدی و با ارائه دو روش برای سیم‌پیچی‌های ترانسفورماتور مدل‌سازی می‌شود [۸].

مدل سه‌بعدی این ترانسفورماتور سه‌فاز توسط یک رایانه صنعتی با مشخصات (به ویژه RAM) نسبتاً قوی از جمله پردازنده ۳/۸ GHz و GPU ۲/۰ GHz و RAM ۳۲ GB شبیه‌سازی شده است.

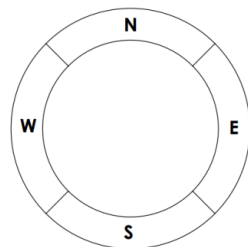
در این فرایند تعداد نقاط مشبندی شده در حدود ۲ میلیون مش رسیده و از این رو مدت زمان شبیه‌سازی هر سیکل تناوب حدوداً ۶ روز (بیش از ۱۴۰ ساعت) به طول انجامیده است.



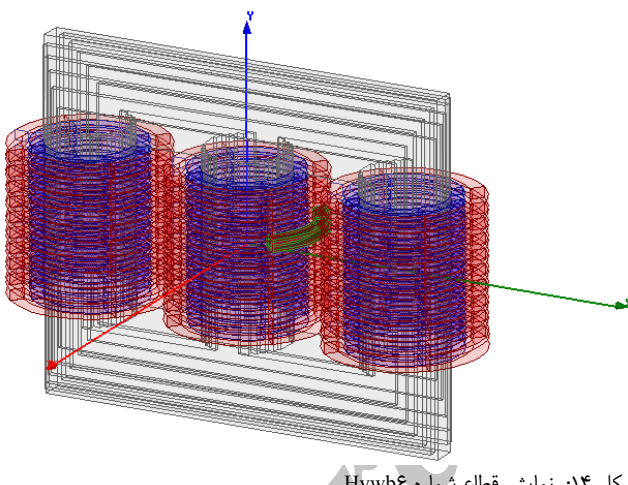
شکل ۱۲: شکل موج جریان هجومی (نمودار جریان (A) بر حسب زمان (ms).



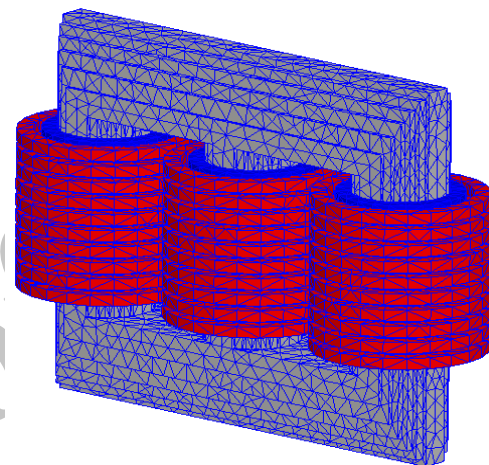
شکل ۹: مدل سه بعدی ترانسفورماتور مورد مطالعه با ساختار سیم پیچی متداول.



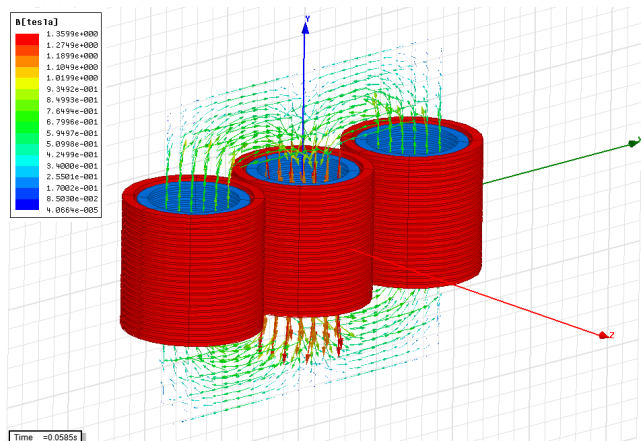
شکل ۱۳: تقسیم‌بندی دیسک‌های سیم‌پیچی‌ها.



شکل ۱۴: نمایش قطاع شماره Hvwb6.



شکل ۱۰: مش‌بندی سه بعدی ترانسفورماتور مورد مطالعه با ساختار سیم‌پیچی متداول.



شکل ۱۱: توزیع شار درون هسته ترانسفورماتور.

**۲-۱-۵ شبیه‌سازی نیروهای الکترومغناطیسی**  
به منظور مطالعه دقیق‌تر نیروهای مکانیکی وارد بر سیم‌پیچی‌های ترانسفورماتور در شرایط وقوع جریان هجومی و با توجه به استفاده از تکنیک اجزایی محدود سه بعدی (3D-FEM) در مدل‌سازی، سیم‌پیچی‌ها مطابق شکل ۱۳ به چهار قطاع مساوی تقسیم و به نام‌های  $N$ ,  $S$ ,  $W$ ,  $E$  نام‌گذاری شده‌اند. به طور مثال در شکل ۱۴ قطاعی از سیم‌پیچی فشارقوی ترانسفورماتور بر روی ستون میانی نشان داده شده که نیروهایی بر اساس آنچه که در شکل ۱۵ ترسیم شده را تحمل می‌کند. همان‌طور که در شکل ۱۵ مشاهده می‌شود مقدار نیروی مکانیکی واردشده بر این قطاع در سه جهت  $x$ ,  $y$  و  $z$  استخراج گردیده است.

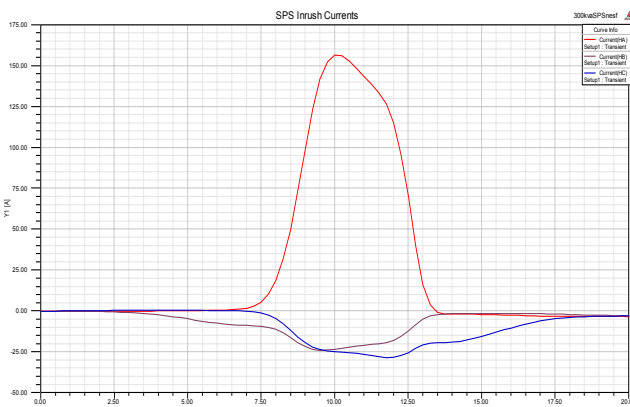
## ۲-۵ ترانسفورماتور با ساختار سیم‌پیچی جدید (SPS)

در این مقاله، نتایج شبیه‌سازی برای ساختار سیم‌پیچی جدید SPS با پارامترهای طراحی سه‌گانه  $0.05 \times 0.04 \times 0.06$  مدل‌های سه بعدی و مش‌بندی شده پیکره ترانسفورماتور در این حالت در شکل‌های ۱۶ و ۱۷ نشان داده شده‌اند.

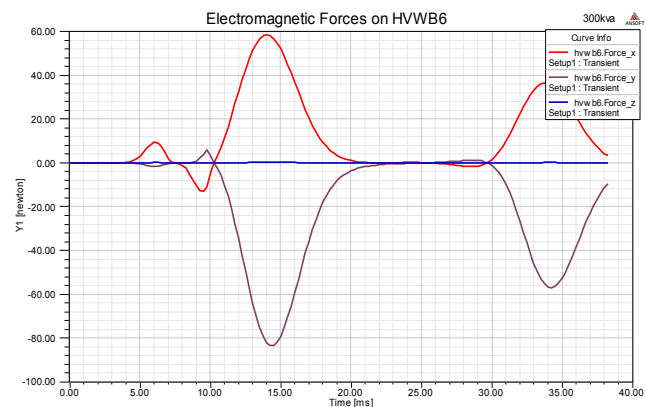
(SP) بررسی می‌نماییم. چگالی توزیع شار مغناطیسی و مقدار جریان هجومی اعمال شده بر روی سیم‌پیچی ترانسفورماتور از جمله کمیت‌های مورد بررسی در این حالت می‌باشند. شکل‌های ۹ و ۱۰ به ترتیب مدل‌های سه بعدی و مش‌بندی شده پیکره ترانسفورماتور مورد مطالعه را نشان می‌دهند.

### ۲-۱-۵ شبیه‌سازی توزیع شار در هسته و جریان هجومی

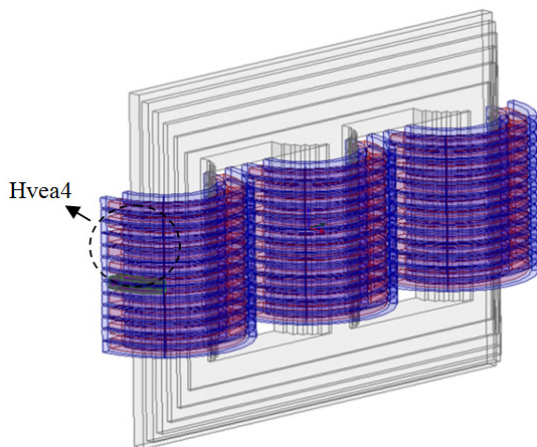
توزیع شار مغناطیسی درون هسته ترانسفورماتور و شکل موج جریان‌های هجومی وارد به سیم‌پیچ‌های فشارقوی در شکل‌های ۱۱ و ۱۲ نمایش داده شده است.



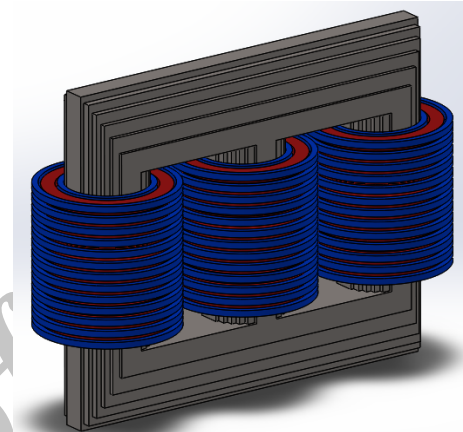
شکل ۱۸: شکل موج جریان هجومی (نمودار جریان (A) بر حسب زمان (ms)).



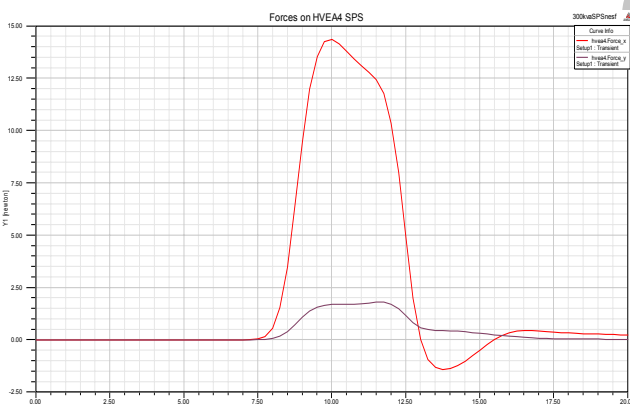
شکل ۱۹: نیروهای وارد بر قطاع Hvwb6 (نیرو (Nm) بر حسب زمان (ms)).



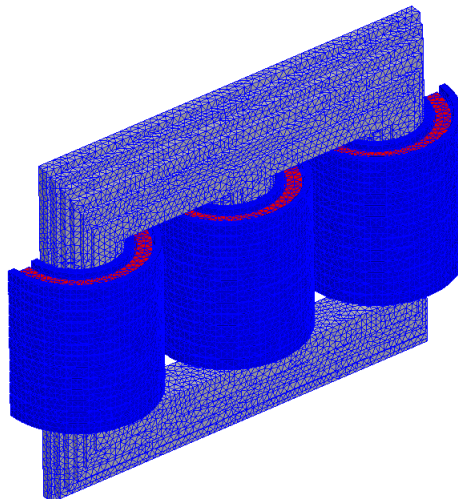
شکل ۱۹: نمایش قطاع شماره ۴.Hvea.



شکل ۱۶: مدل سه بعدی ترانسفورماتور مورد مطالعه با ساختار سیم پیچی جدید (SPS-Type).



شکل ۲۰: نیروهای وارد بر قطاع Hvea4 (نیرو (Nm) بر حسب زمان (ms)).



شکل ۱۷: مشبندی سه بعدی ترانسفورماتور مورد مطالعه با ساختار سیم پیچی جدید (SPS-50-%) با بیش از دو میلیون مش.

شکل ۲۰ نیروهای الکترومکانیکی وارد شده بر روی قطاع Hvea4 که بهخشی از سیم پیچی قرار گرفته بر روی ستون جانبی ترانسفورماتور با ساختار جدید است را نشان می دهد.

با مقایسه شکل ۱۵ و ۲۰ که به ترتیب نیروهای وارد شده بر روی سیم پیچی ها را در دو حالت سیم پیچی متداول و ساختار جدید SPS نشان می دهد، به وضوح می توان تأثیر این نوع سیم پیچی را بر روی کاهش مقدار مؤلفه های نیروی الکترومکانیکی در حالت SPS مشاهده نمود.

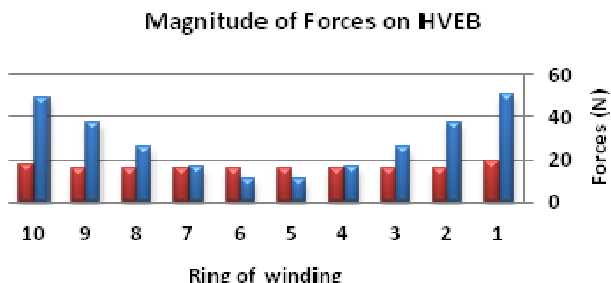
## ۶- تحلیل نتایج

در شکل های ۲۱ تا ۲۴ مقدار برایند نیروهای وارد بر هر کدام از دیسک های سیم پیچی های فشارقوی ستون وسط (مرکزی) و ستون های کناری (جانبی) ترانسفورماتور به ازای ساختار سیم پیچی متداول - آبی رنگ

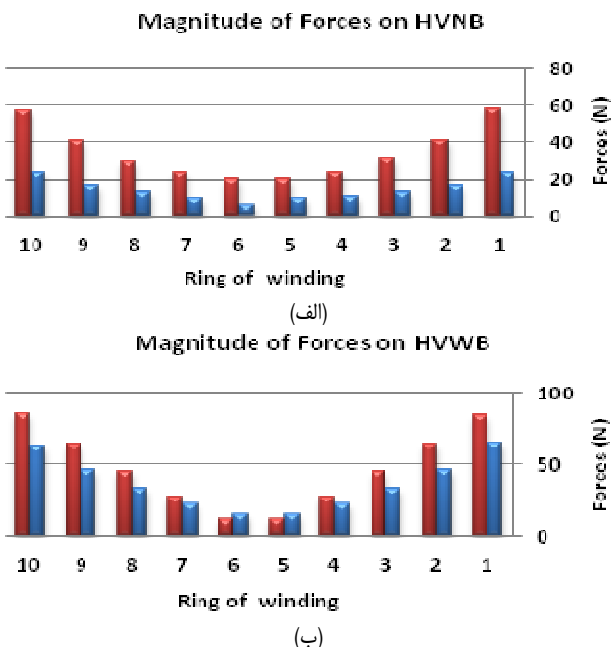
شکل ۱-۲-۵ بررسی جریان هجومی  
شکل ۱-۲-۶ بررسی جریان هجومی وارد به سیم پیچ های فشارقوی در حالت SPS در شکل ۱۸ نمایش داده شده است.

## ۲-۵ بررسی نیروهای الکترومغناطیسی

در این حالت، همان طور که در شکل ۱۹ نیز ملاحظه می شود قطاعی از سیم پیچی فشارقوی بر روی ستون جانبی انتخاب شده و نیروهایی الکترومکانیکی که بر این قطاع وارد می شوند به دست می آیند.



شکل ۲۴: مقدار برایند نیروهای وارد بر قطاع  $E$  ستون میانی با SPS-۵۰٪.



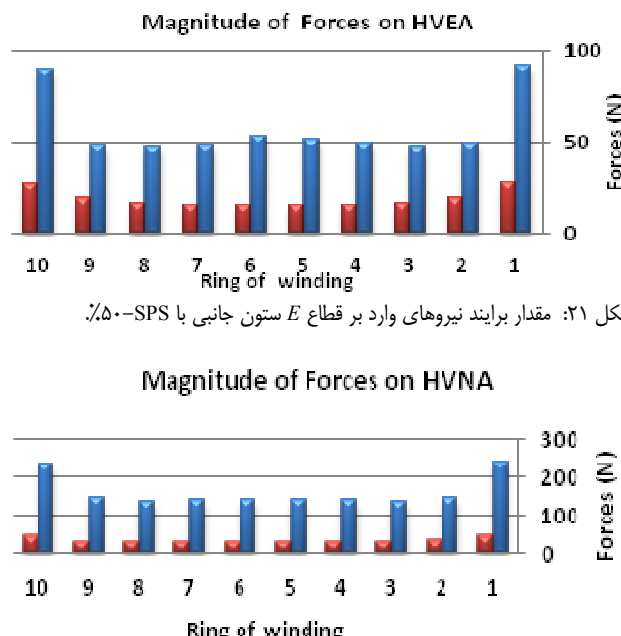
۲۵- (الف) مقدار برایند نیروهای وارد بر قطاع  $N$  ستون میانی با  $SPS_{40\%}$  و (ب) مقدار برایند نیروهای وارد بر قطاع  $W$  ستون میانی با  $SPS_{40\%}$ .

مطابق شکل ۲۲ نیروهای الکترومکانیکی بر روی قطاع بالایی  $N$  برای سیم پیچ فشارقوی در حلقه‌های میانی شماره ۵ و ۶ برای حالت متداول/SPS به ترتیب برابر  $31/140$  و  $31/142$  نیوتون است. در این قسمت کمته‌سازی، بیش از  $77/8\%$  را شاهد می‌باشیم.

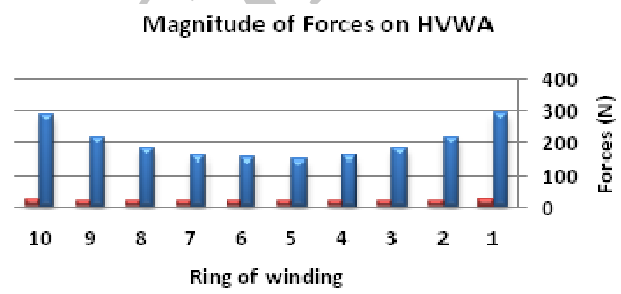
مقدار برایند نیروهای وارد بر قطاع  $W$  ستون جانبی در شکل ۲۳ مشاهده می‌شود. در این قطاع حداقل کمینه‌سازی برای حالت SPS با توجه به حلقه‌های شماره ۵ و ۶ سیم پیچی برابر ۸۸٪ است که با توجه به مقادیر ۱۸/۱۵۰ و ۱۸/۱۵۱ نیوتن برای حالت متداول /SPS به دست آمده است.

همان گونه که ملاحظه شد نتایج شبیه‌سازی اجزای محدود در شکل‌های ۲۱ تا ۲۵ به ازای ساختار SPS-۵۰٪ به دست آمده است و تمرکز اصلی این پژوهش نیز در تعیین نسبت سیم‌بیچی ثانویه - اولیه - ثانویه (SPS) به پارامتر SPS-۵۰٪ معطوف گردیده است. این امر نیز بین دین علت بوده است که نتایج شبیه‌سازی‌ها نشان می‌دهد که به ازای نسبت‌های دیگر سیم‌بیچی نظیر SPS-۶۰٪ و SPS-۴۰٪، مطابق آنچه در شکل ۲۴ و ۲۵ مشاهده می‌شود، مقدار کمینه‌سازی نیروهای الکترومکانیکی چشم‌گیر نبوده و حتی مقدار این نیروها در قسمت‌هایی از سیم‌بیچی مانند قطاع  $N$  و  $W$  به طور قابل ملاحظه‌ای افزایش می‌یابد.

در شکل ۲۶ و ۲۷ نیز تأثیر سیم‌بیچی SPS ترانسفورماتور بر روی کاهش نیروی الکترومکانیکی اعمال شده در اثر جریان هجومی به خوبی مشاهده می‌شود. تأثیر کاهش نیروهای الکترومکانیکی بر اساس نوع



شکل ۲۲: مقدار برآیند نیروهای وارد بر قطاع  $N$  ستون چانجی یا SPS-۵۰٪.



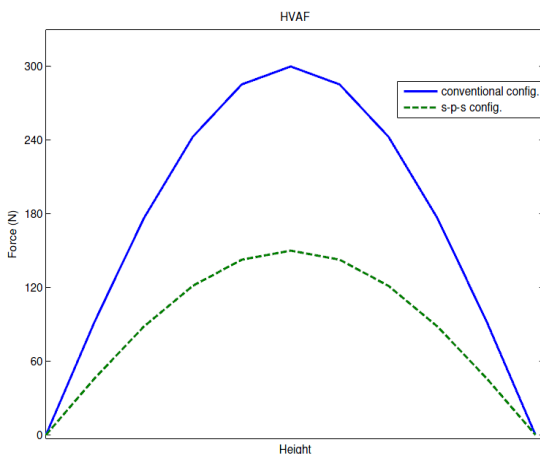
شکل ۲۳: مقدار برایند نیروهای وارد بر قطاع  $W$  ستون جانبی با SPS-۵۰٪.

و به ازای ساختار سیم پیچی SPS- قرمزنگ نشان داده شده است. مقایسه این ترتیب، بیانگر کاهش چشمگیر نیروهای الکترومکانیکی بر روی سیم پیچی های ترانسفورماتور با ساختار جدید سیم پیچی می باشد. همان گونه که اشاره گردید، نیروی الکترومکانیکی متناسب با کاهش جریان هجومی در لحظه راه اندازی ترانسفورماتور کاهش می یابد.

همان طور که مشاهده می‌شود و قبلًاً نیز در روابط تحلیلی بخش ۲ بیان گردید، برایند نیروهای واردشده به سیم‌پیچی‌ها در حلقه‌های بیرونی بیشتر از حلقه‌های داخلی می‌باشد. با پیاده‌سازی ساختار سیم‌پیچی جدید نیز مقدار این نبودهای به میزان قابل توجه کاهش می‌باشد.

همچنین ملاحظه می‌شود که کاهش برایند نیروها بر روی ستون‌های (فازهای) جانی ترانسفورماتور سه‌فاز در حالت SPS به مراتب بیشتر از ستون میانی می‌باشد. به عنوان نمونه، نیروی وارد شده بر سیم پیچ فشارقوی در حلقه‌های یکم و دهم فاز A از قطاع بیرونی E یا قسمت شرقی حلقه‌های فاز A، در حالت سیم پیچی متداول به ترتیب برابر ۹۲ و ۹۰ نیوتن و این مقدار برای سیم پیچی SPS برابر ۲۸ و ۳۷ نیوتن می‌باشد (شکل ۲۱). به عبارت دیگر، مقدار کمینه‌سازی نیروی الکترومکانیکی در این قسمت سیم پیچ که بیشترین مهبد را در این قطاع داشته به بیش از ۴۸٪ رسیده است.

به همین ترتیب مقادیر مربوط به کمینه‌سازی فاز  $B$  یا همان ستون میانی ترانسفورماتور سه‌فاز بر روی همین قسمت سیم پیچ، برای حالت متدالوبل برابر  $51$  و  $49$  نیوتون و برای ساختار جدید برابر  $19$  و  $18$  نیوتون به دست آمده که کمینه‌سازی  $\frac{3}{3} \times 63\%$  را محقق می‌نماید (شکل ۲۴).



شکل ۲۷: نیروی الکترومغناطیسی محوری بر روی سیم‌پیچی فشارقوی.

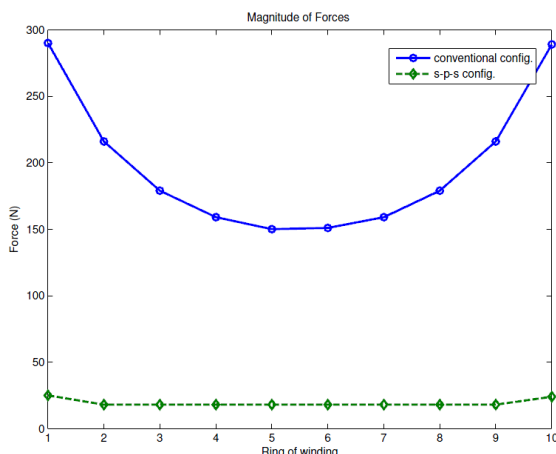
شایان ذکر است که از نرم‌افزارهای جانبی به منظور تبیین اتصالات سیم‌پیچی‌ها Maxwell Circuit Editor یا Ansoft Simplorer (Postprocessing) ذخیره نتایج میدان در زمان‌های مختلف و به منظور محاسبه نیروهای وارد بر سیم‌پیچی‌ها در این مقاله استفاده نشده که در صورت بهره‌گیری از این نرم‌افزارهای جانبی حجم و زمان محاسبات سیار بیشتر و طولانی‌تر می‌گردد.

## ۶- سپاس‌گزاری

از آقای مهندس علیرضا نصیری که در انجام این پژوهش ما را باری نمودند قدردانی می‌گردد.

## مراجع

- [1] J.-Y. Lee, et al., "Finite-element analysis of short circuit electromagnetic force in power transformer," in Proc. Int. Conf. on Electrical Machines and Systems, ICEMS'9, 4 pp., Tokyo, Japan, 2009.
- [2] J. H. Brunke and K. J. Frohlich, "Elimination of transformer inrush currents by controlled switching theoretical considerations," IEEE Trans. Power Delivery, vol. 16, no. 2, pp. 276-280, Apr. 2001.
- [3] A. A. Adly, "Computation of inrush current forces on transformer windings," IEEE Trans. of Magn., vol. 37, no. 4, pp. 2855-2857, Jul. 2001.
- [4] H. Li, et al., "Analysis of three-phase power transformer windings forces caused by magnetic inrush and short-circuit currents," in Proc. of 2009 IEEE Int. Conf. on Applied Superconductivity and Electromagnetic Devices, ASEMD, pp. 233-236, Chengdu, China, 25-27 Sep. 2009.
- [5] J. Takehara, M. Kitagawa, T. Nakata, and N. Takahashi, "Finite-element analysis of inrush currents in three phase transformers," IEEE Trans. Magn., vol. 23, no. 5, pp. 2647-2649, Sep. 1987.
- [6] H. -M. Ahn, et al., "Finite-element analysis of short circuit electromagnetic force in power transformer," IEEE Trans. on Indust. Applications, vol. 47, no. 3, pp. 1267-1272, May/Jun. 2011.
- [7] N. Chiesa, *Power Transformer Modeling for Inrush Current Calculation*, Ph.D. Thesis, Norwegian University of Science and Technology, NTNU, 2010:64.
- [8] A. Agarwall, *Principles of Electrical Machine Design Handbook*, New York: Marcel Dekker, 2004.
- [9] S. J. Salon, *Finite Element Analysis of Electrical Machines*, New York: Rensselaer Polytech. Inst., 1995.
- [10] N. Chiesa, *Power Transformer Modeling for Inrush Current Calculation*, Ph.D. Thesis, Norwegian University of Science and Technology, NTNU, 2010.
- [11] S. V. Kulkarni and S. A. Khaparde, *Transformer Engineering*, New York: Marcel Dekker, 2004.
- [12] H. Heydari and F. Faghhihi, "Mechanical force analysis in heavy current HTS transformers based on field and current nonuniformity coupled analysis," IEEE Trans. on Applied Superconductivity, vol. 20, no. 4, pp. 2276-2282, Aug. 2010.



شکل ۲۶: برآیند نیروهای وارد بر روی سیم‌پیچی فشارقوی (قطعه W).

سیم‌پیچی ترانسفورماتور در حلقه‌های میانی بسیار چشم‌گیر بوده و به عبارت دیگر هسته مرکزی سیم‌پیچ ترانسفورماتور را کمتر تهدید به خرابی مکانیکی در اثر جریان هجومی می‌نماید.

لذا شکل‌های ۲۱ تا ۲۶ با محاسبه نیروهای الکترومغناطیسی در شرایط جریان هجومی، رفتار اجزای مختلف سیم‌پیچی ترانسفورماتور مورد مطالعه در برابر این نیروها را مورد بررسی قرارداد و تأثیر نوع سیم‌پیچی در کاهش یا افزایش نیروهای مکانیکی را به نمایش گذاشت.

## ۷- نتیجه‌گیری

در این مقاله از روش آنالیز اجزای محدود برای تخمین نیروهای الکترومغناطیسی اعمال شده بر روی سیم‌پیچی‌های یک ترانسفورماتور سه‌فاز فشارمتوسط در شرایط گذرا استفاده گردیده است. جهت ارتقای اینمی، حفظ و نگهداری ترانسفورماتور در برابر آسیب‌های احتمالی ناشی از شرایط گذرا، یک ساختار جدید برای سیم‌پیچی ترانسفورماتور مورد مطالعه سیم‌پیچی متداول در ترانسفورماتورهای سه‌فاز، شاهد کاهش جریان هجومی و کمینه‌سازی نیروهای الکترومکانیکی اعمال شده بر روی سیم‌پیچی‌های ترانسفورماتور خواهیم بود. همان‌گونه که انتظار می‌رفت، بهبود این نیروها در ستون‌های میانی می‌باشد و لذا به کارگیری و استفاده محسوس‌تر از ستون‌های میانی ترانسفورماتور، بسیار بیشتر و از روش‌های جدید در آرایش و ساختار سیم‌پیچی ترانسفورماتور سه‌فاز از جمله استفاده از ساختار SPS، می‌تواند منجر به کاهش چشم‌گیر اثرات ناشی از شرایط گذرا و بهبود نیروهای الکترومکانیکی در ترانسفورماتورها شود.

## ۸- پیشنهادها و کارهای آتی

بررسی ساختارهای جدید دیگری برای سیم‌پیچی‌های ترانسفورماتور از جمله سیم‌پیچی SPSP، سیم‌پیچی بشقابی یا کلوچه‌ای (LHL) و ترکیب این دو نوع سیم‌پیچی برای ترانسفورماتور مورد مطالعه مد نظر قرار گرفت. در هر کدام از این روش‌ها برای دسترسی به نتایج دقیق، نیاز است مش‌بندی‌ها از مرز ده میلیون مش با ابعاد بسیار کوچک نیز عبور کند. لذا به دلیل محدودیت‌های رایانه‌ای برای انجام حجم بسیار زیاد این محاسبات در حال حاضر امکان دسترسی به نتایج برای این حالت‌ها میسر نبوده است. پیش‌بینی می‌گردد با رایانه موجود، شبیه‌سازی ساختار SPSP حداقل یک ماه زمان برای اجرای نرم‌افزار در یک سیکل کاری نیاز داشته و ممکن است بر روی صحت نتایج نیز تردید وجود داشته باشد.

برگزیده شده است و در سال ۱۳۹۴ نیز جایزه ملی عالمه طباطبائی که به استادان ممتاز دانشگاهها و پژوهشگران برجسته ایرانی اعطا می شود، به وی اعطا شده است. وی که در سال های ۱۳۵۸ تا ۱۳۵۹ ریاست دانشگاه صنعتی شریف را بر عهده داشته است، عضو هیأت علمی نمونه آموزش عالی کشور در سال ۱۳۷۳، استاد برجسته دانشگاه صنعتی شریف در سال ۱۳۷۵، استاد ممتاز دانشکده مهندسی برق دانشگاه صنعتی شریف در سال ۱۳۷۷ و عضو انجمن علمی CIGRE می باشد. زمینه های تحقیقاتی مورد علاقه ایشان عبارتند از: سیستم های قدرت و حفاظت سیستم های قدرت، ماشین های الکتریکی و شبکه های هوشمند.

فرامرز فقیهی تحصیلات خود را در مقطع کارشناسی، کارشناسی ارشد و دکتری به ترتیب در سال های ۱۳۷۹، ۱۳۸۱ و ۱۳۸۷ در دانشگاه های تهران، امام حسین (ع) و علم و صنعت ایران به پایان رسانده اند. ایشان هم اکنون عضو هیأت علمی و استادیار دانشکده برق و کامپیوتر واحد علوم و تحقیقات تهران دانشگاه آزاد اسلامی است. زمینه های تحقیقاتی مورد علاقه ایشان عبارتند از: تحلیل میدان های الکترومغناطیسی و فشارقوی، کیفیت توان و انرژی های تجدیدپذیر.

سودابه سلیمانی تحصیلات خود را در مقطع کارشناسی، کارشناسی ارشد و دکتری در رشته مهندسی برق - قدرت به ترتیب در سال های ۱۳۸۰، ۱۳۸۲ و ۱۳۸۶ از دانشگاه صنعتی شریف به پایان رسانده است. دکتر سلیمانی هم اکنون عضو هیأت علمی و دانشیار دانشکده برق و کامپیوتر واحد علوم و تحقیقات تهران دانشگاه آزاد اسلامی می باشد. زمینه های تحقیقاتی مورد علاقه ایشان عبارتند از: انرژی های نو، ماشین های الکتریکی و برنامه ریزی سیستم قدرت، تئوری بازی، بازار برق.

- [13] H. Heydari and F. Faghihi, "Hybrid winding configuration in high-current injection transformers based on EMC issues," *IET Electric Power Applications*, vol. 3, no. 3, pp. 187-196, Apr. 2009.
- [14] M. R. Feyzi and M. Sabahi, "Finite element analysis of short circuit forces in power transformers with asymmetric conditions," in *Proc. IEEE Int. Symp. Ind. Electron.*, pp. 576-581, 30 Jun.-2 Jul. 2008.
- [15] R. A. Naghizadeh, B. Vahidi, and S. H. Hosseiniyan, "Modelling of inrush current in transformers using inverse jiles - atherton hysteresis model with a neuro-shuffled frog-leaping algorithm approach," *IET, Electric Power Applications*, vol. 6, no. 9, pp. 727-734, Nov. 2012.
- [16] N. Chiesa, B. A. Mork, and H. K. Hoidalen, "Transformer model for inrush current calculations: simulations, measurements and sensitivity analysis," *IEEE Trans. on Power Delivery*, vol. 25, no. 4, pp. 2599-2608, Oct. 2010.

علی اکبر نصیری تحصیلات خود را در مقاطع کارشناسی و کارشناسی ارشد مهندسی برق به ترتیب در سال های ۱۳۸۵ و ۱۳۸۷ از دانشگاه آزاد اسلامی واحد بنجف آباد به پایان رسانده است و هم اکنون دانشجوی مقطع دکتری مهندسی برق دانشگاه آزاد اسلامی واحد علوم و تحقیقات تهران می باشد. نام برده از سال ۱۳۸۸ تاکنون استاد مدعو دانشگاه آزاد اسلامی واحد حماآند است. زمینه های تحقیقاتی مورد علاقه ایشان عبارتند از: ماشین های الکتریکی، قابلیت اطمینان سیستم های قدرت و انرژی های نو.

علی محمد رنجبر تحصیلات خود را در مقاطع کارشناسی و کارشناسی ارشد مهندسی برق به ترتیب در سال های ۱۳۴۴ و ۱۳۴۷ از دانشگاه تهران و در مقطع دکتری مهندسی برق در سال ۱۳۵۴ از دانشگاه امپریال کالج لندن به پایان رسانده است و هم اکنون استاد تمام دانشکده مهندسی برق دانشگاه صنعتی شریف می باشد. دکتر رنجبر از سال